

실시간 자동영상 추적기를 위한 영상영역화의 구현에 관한 연구

○ 본 문 헌* 김 경 수* 김 재 희**
* 한국방송공사 기술연구소 ** 연세대학교 전자공학과 교수

A Study on the Implementation of the Picture segmentation
for a Real-Time Automatic Video Tracker System

○ Chong Hwan MOON, Kyeong Soo KIM, Jae Hee KIM
* KBS TRI. ** Electronic Eng. Dept. of yonsei University

This paper describes a way of implementing the segmentation of 128*128 pixel images to be used as the inputs to a real-time automatic video tracker. The suggested method uses the lowest valley-value of the computed intensity histogram with 16 levels. This method improves smoothing effects and also significantly reduces hardware requirements. Entire segmentation process is carried out in 10msec thus making a real time application possible.

1. 서 론

자동영상추적기(automatic video tracker)란 컴퓨터로 하여금 영상을 처리하여 자동으로 물체를 추적하게 하는 장치를 말한다. 자동영상 추적기는 디지털 기술의 발달로 인해 중심추적(center tracking)등과 같은 간단한 알고리즘을 이용하여 하드웨어로 실현되어 있다[13]. 자동영상추적기에서의 모든 처리는 실시간 동작을 위하여 때 1/30초마다 모든 계산을 완료되어야 한다.

영상추적기에서 사용하는 영상은 카메라로 부터 받은 그대로의 영상을 사용하는 방법과 이를 영역화한

을 일단 영역화한 후에 binary 영상을 사용하게 된다. 이와 같은 방법으로 실시간 동작에 유리한 영상추적기의 기능 블록선도는 [그림-1]과 같다.

영상영역화의 대표적인 방법으로는 1) edge 검출 방법[1,2,3,4] 2) 영역분리 또는 결합 방법[5,6,7] 3) thresholding 방법[8,9,10]으로 나눌 수 있다. thresholding 방법이 각 영역의 밝기의 차이가 큰경우에 이를 밝기를 구별할 수 있는 문턱(threshold)값을 정하여 이 값을 기준으로 영역을 분리하는 방법이다. 이 방법은 위의 1), 2)의 방법에 비하여 계산량이 적으므로 실시간을 고려할 때 매우 유리하다.

본 논문에서는 thresholding방법으로 실시간 동작하며, 때 frame마다 자동으로 영역화가 가능한 영상영역화를 설계하고 그 성능을 실험했다

2. 밝기분포 계산

TV카메라에서 FOV(Field of View)내의 화면을 $n * m$ 행렬 형태로 digitize하면

$$P = (P_{ij})_{n, m} \tag{1}$$

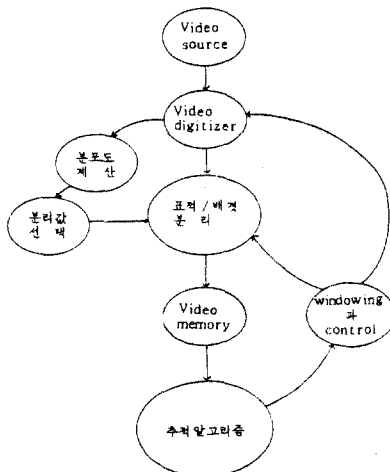
으로 화소의 밝기 P_{ij} 를 통하여 표시할 수 있다. 이렇게 구성된 행렬 형태를 영역 R이라하면, R내에서의 밝기 분포도 $h^R(x)$ 는 domain $[0, d]$, range $[0, r]$ 이 된다. 여기서 d는 A/D 변환기의 dynamic range를 나타내고, r은 영역 R에 포함된 화소의 수이다.

x_i 를 x의 domain에서 i번째 element라 하고, $x(j)$ 를 영역 R에서 j번째 포본(화소)을 표시한다면 분포도 $h(x)$ 는

$$h^R(x_i) = \sum_{j=1}^r \delta_{x_i, x(j)} \tag{2}$$

여기서 δ 는 kronecker delta 함수이며

$$\delta_{i, j} = \begin{cases} 0 & i \neq j \\ 1 & i = j \end{cases} \text{ 이다.}$$



[그림-1] 영상추적기의 기능 블록선도

후에 이용하는 방법, 2가지로 나눌 수 있다. 현재의 영상을 받아 추적하는 경우에는 그 계산량이 방대하여 실시간 실지가 현재의 기술로는 어렵다. 그래서, 영상

식(2)는 하나의 x 에 대하여 어떤 영역 R 내의 표본을 모두 scan하여야 한다. 실제 실험을 위하여 영역 R 내의 표본을 한번만 scan하여 모든 x_i 에 대한 본포도를 계산할 수 있는 형태로 표시하면 다음과 같다.

$h^R(x)$ 를 구성하는 $(d+1)$ 개의 1차원 array를 영역 R 에서 처리하기 전에 미리 '0'으로 만들어 준다.

$$h^R(x_i) = 0 \text{ for } i = 1, 2, \dots, d+1 \quad (3)$$

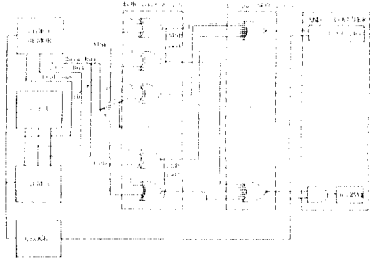
영역 R 에서 각 표본(좌소)를 처리할 때 마다 $(d+1)$ 개의 array중 단지 하나만 증가시킨다.

$$h[x(j)] \leftarrow h[x(j)] + 1 \quad (4)$$

전체영역을 scan하고 나면 h 는 이 영역내의 좌소의 밝기에 대한 본포도를 갖게되며, 이때 구한 histogram을 영역 R 에서의 본포도라 하고, 다음의 등식을 만족한다.

$$r = \sum_{i=1}^{d+1} h^R(x_i) \quad (5)$$

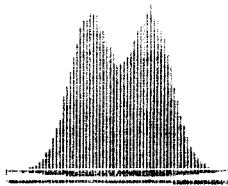
위의 방법을 써서 구성한 본포도 계산 회로의 블록도는 [그림-2]와 같다.



[그림-2] 밝기 본포도 계산기의 구성도

3. Minimum error thresholding과 본티값 추출

본티값의 선택은 영상의 밝기 본포도가 2개의 비슷한 크기의 peak를 가지며, 이들 peak 사이에서 계곡(vally)이 존재하는 [그림-3]과 같은 bimodal 형태일 경우 비교적 쉽다. 이러한 형태의 본포도에서 배경과 표적을 본티하기 위한 본티값을 정하는 방법에는 1) 전체화면에서 표적이 차지하는 면적의 비율이 알려져 있다면 본포도를 통하여 전체화면에서 이 비율을 줄 수 있는 본티값을 선택하고 [11], 2) 표적과 배경의 밝기영역이 충분히 떨어져 있다면, 두 peak사이의 계곡값 중 최소값을 찾아 본티값으로 선택하는 방법등 크게 2가지로 나눌 수 있다[8].



[그림-3] 밝기 본포도의 예

주어진 본포도에서 표적과 배경에 해당하는 부분 각각을 독립적인 확률본포함수(p.d.f)로 표시하고 밝기본포도를 Gaussian확률본포함수로 근사화한 후, 표적과 배경 영역으로 나타낸 $P_T(x/T)$, $P_T(x/B)$ 를 표적과 배경의 평균 밝기 m_T , m_B 와 표준편차 σ_T , σ_B 로 표시하면

$$P_T(x/T) = \frac{1}{2\pi\sigma_T} e^{-\frac{(x-m_T)^2}{2\sigma_T^2}} \quad (6)$$

$$P_T(x/B) = \frac{1}{2\pi\sigma_B} e^{-\frac{(x-m_B)^2}{2\sigma_B^2}} \quad (7)$$

이 된다.

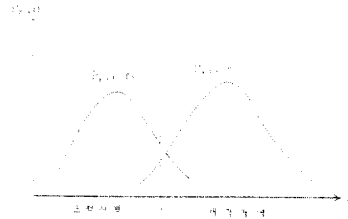
여기서 표적과 배경의 면적을 안다면, Hypothesis testing이론에 의하여 표적을 배경(B/T)으로 배경을 표적(T/B)으로 잘못 판별할 error가 일어날 확률 $P_T(\text{error})$ 는

$$P_T(\text{error}) = P_T(T/B)P_T(B) + P_T(B/T)P_T(T) \quad (8)$$

이고, 위의 error확률을 최소화 하는 Bayes decision rule은 다음과 같이 된다.

$$\frac{P_T(x/T)}{P_T(x/B)} \stackrel{T}{>} \frac{P_T(B)}{P_T(T)} \quad (9)$$

위 식에서 $P(x/T)$ 와 $P(x/B)$ 는 조건부 확률을 나타낸다.[그림-4a]는 이러한 확률에 대한 예이다.



[그림-4a] 조건부 확률의 예

식(8)에 COST를 부가하고, 일관화한 $P_T(\text{error})$ 를 최소화하는 Bayes decision rule은

$$\frac{P_T(x/T)}{P_T(x/B)} \stackrel{T}{>} \frac{C(T/B) - C(B/B)}{C(B/T) - C(T/T)} \cdot \frac{P_T(B)}{P_T(T)} \quad (10)$$

이다. 이식을 동식으로 하여 풀면 표적과 배경을 본티하는 본티값 t 를 구할 수 있다.

식(10)에서 COST $C(B/B)$, $C(T/T)$ 를 '0'으로, 잘못 판별한 경우에 대한 COST $C(B/T)$ 와 $C(T/B)$ 를 같게하고, 전체 화면에서 표적이 차지하는 비율 θ 를

$$\theta = \frac{P_T(T)}{P_T(B) + P_T(T)} \quad (11)$$

또하여 동식으로 풀은 후, x 대신 t 를 대입하면

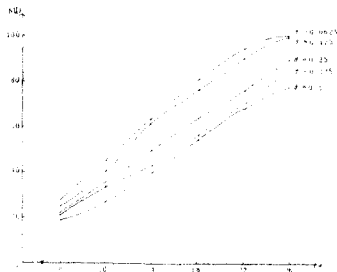
$$\frac{P_T(t/T)}{P_T(t/B)} = \frac{1-\theta}{\theta} \quad (12)$$

이다. 여기에 식(6), (7)을 대입하고, $\sigma_T = \sigma_B = \sigma$ 로 표적과 배경의 본산 정도가 같다고 하면, 본티값 t 는

$$l = \frac{m_T + m_B}{2} + \frac{\sigma^2}{m_B - m_T} \ln \frac{\theta}{1 - \theta} \quad (13)$$

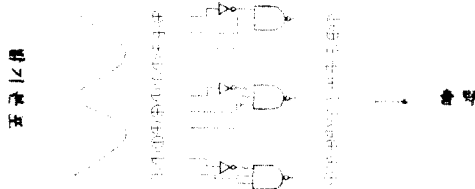
으로 나타난다. 이것이 사진확률을 아는 것을 가정으로 최소error를 주는 본티값을 구하는 식이지만 본 논문에서 취급하는 영상의 내용상 사진확률을 아는 것은 불가능하므로 이것으로 본티값을 결정할 수 없다. 그러나, 어떤 본티값이 정근 밝기, 포존전차, 포적의 전체화면에 대한 비율 등 3가지 화면의 상질에 의하여 조건부로 정하여 짐을 알 수 있다.

[그림-4b]는 화면의 상질을 넣어 컴퓨터 시뮬레이션에 의하여 작성된 실제 영역확가 가능한가를 나타내는 표이다. 화면의 상질로는 배경과 포적의 평균 밝기의 차 MD(mean difference), 포존전차, 그리고 포적의 비율 θ , 3개이다. [그림-4b]는 thresholding 방법으로 영상영역확가 가능한 화면의 상질에 대한 한계치를 정할 수 있음을 보이고 있다.



[그림-4b] thresholding 방법으로 영상영역확가 가능한 화면의 상질에 대한 그래프

위에서 밝기 thresholding에 의해 영상영역확가 가능한 화면을 최저계곡값으로 영역화했을 때, 두 peak 사이의 간격과 포존전차라는 조건에 의하여 최소 error를 반드시 얻을 수는 없지만, 사진확률을 알 수 없고 실시간 처리에 유리하므로 최저 계곡값으로 본티값을 취하는 방법이 쓰인다.



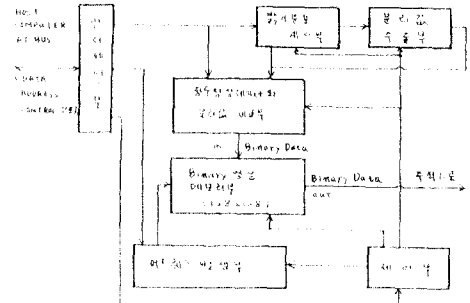
[그림-5] 계곡값중 최소치를 찾는 논리

영역확가 가능한 화면의 밝기 분포도는 [그림-3]과 같은 bimodal한 특성이므로 계곡 바로 전의 기울기와 지난후의 것의 부호를 비교함으로써 [그림-5]와 같은 논리를 사용한 계곡값중 최소치를 매 frame마다 자동으로 찾아내는 본티값 추출기를 설계했다.

4. 실험과 결과 고찰

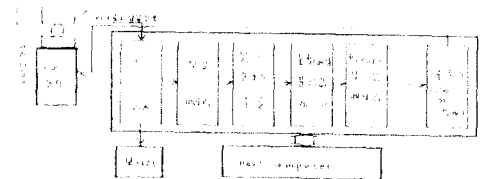
(1) 영상영역확가와 실험 시스템의 구성

영상영역확가는 위에서 설계한 1) 밝기 분포 계산부 2) 본티값 추출부와 실험과장에서 언급된 3) 포적/배경 본티값 영상 memory부등 크게 3과정으로 구성된다.



[그림-6] 영상영역확가의 구성도

영상 data, 제어 신호, address 등은 pc AT bus를 이용하였다. 데이터 입력으로 사용될 영상은 512*512 pixel의 영상을 128*128로 축소(그림-8)한 후에 사용했다. [그림-6]이 영역확가의 구성도이며, [그림-7]은 영역확가의 성능을 실험하기 위한 시스템의 구성도이나 여기에서는 실험의 목적에 맞도록 제한했다.



[그림-7] 실험 시스템의 구성

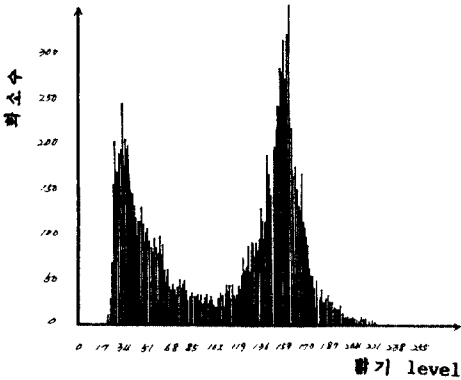
(2) 밝기 분포 계산 실험

밝기 분포도는 명암 레벨에 따른 화소수를 세어서 X축에 명암의 레벨을 Y축에 화소의 수를 표시함으로써 얻어진다. 8bit의 128*128 영상의 밝기 분포도는 소프트웨어 처리에 의하여 [그림-9]와 같이 얻어진다

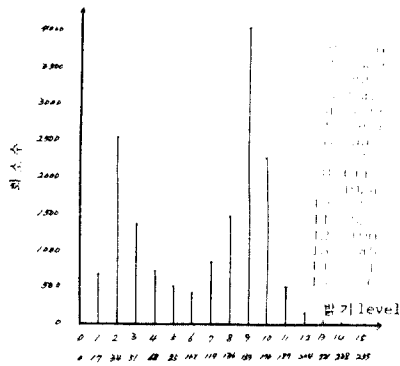


[그림-8] 영상data 입력으로 사용된 128*128 영상

실제 회로에서는 본포도의 smoothing 효과를 얻기 위하여 상위 4bit 단으로 구성된 화소의 명암 레벨 16개 중 하나가 되게하여 카운트하도록 했다. [그림-8]과 같은 영상 데이터를 본포도 계산부의 입력으로 넣을 때, 그



[그림-9] 128*128 영상의 256레벨 밝기 본포도



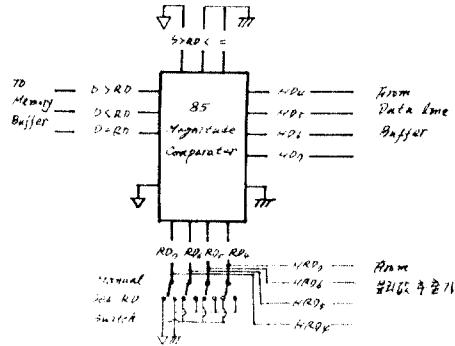
[그림-10] 128*128 영상의 16 level 밝기 본포도

결과를 [그림-10]과 같다. 이것은 [그림-9]와 같은 원래의 본포도와 비교할 때 원래만 바의 smoothing 효과를 발휘하고 있음이 확실하고, 앞에서 설계한 본티값 추출기의 동작이 가능케 할 것임을 짐작케 한다.

(3) 영역화 실험

밝기 본포도에서 구한 16개 level의 화소수를 서로 이웃한 것끼리, 낮은 level에서 높은 level 쪽으로 비교해가면 16개의 '+' 또는 '-' 부호를 얻을 수 있다. 이 16개의 레벨이 앞에서 밝힌 최저 계급값 선택기법에 의해 인버터와 NAND 게이트로 이루어진 본티값 판별 회로에 입력되면 그중 한 level을 출력하여, [그림-11]과 같은 binary data화부의 본티값을 설정한다. 여기에서 한후레임의 영상 data는 '0' 또는 '1'의 레벨로 분류되어 영상 메모리에 저장하면 영역화는 완료된다.

단계별로 영역화를 시험하기 위하여 binary data화부의 기준값을 '0111'로 설정한 후, [표-1]의 데이터



[그림-11] Binary data화부의 interface

9000	0	0	0	0	0	0	0	0	0	0	0	0	0	0	0	0	0	0	0
9001	0	0	0	0	0	0	0	0	0	0	0	0	0	0	0	0	0	0	0
9002	0	0	0	0	0	0	0	0	0	0	0	0	0	0	0	0	0	0	0
9003	0	0	0	0	0	0	0	0	0	0	0	0	0	0	0	0	0	0	0

[표-1] 영역화 시험 입력으로 사용된 data

9000	0	0	0	0	0	0	0	0	0	0	0	0	0	0	0	0	0	0	0
9001	0	0	0	0	0	0	0	0	0	0	0	0	0	0	0	0	0	0	0
9002	0	0	0	0	0	0	0	0	0	0	0	0	0	0	0	0	0	0	0
9003	0	0	0	0	0	0	0	0	0	0	0	0	0	0	0	0	0	0	0

[표-2a] 상위 4bit '0111'로 영역화한 결과

9000	0	0	0	0	0	0	0	0	0	0	0	0	0	0	0	0	0	0	0
9001	0	0	0	0	0	0	0	0	0	0	0	0	0	0	0	0	0	0	0
9002	0	0	0	0	0	0	0	0	0	0	0	0	0	0	0	0	0	0	0
9003	0	0	0	0	0	0	0	0	0	0	0	0	0	0	0	0	0	0	0

[표-2b] 상위 4bit '1011'로 영역화한 결과

를 영역화한 결과는 [표-2a]와 같이, '0111'로 설정했을 때는 [표-2b]와 같이 변한되어 나타났다. 다음에는 기준값 설정을 auto로한 후, [그림-8]의 인물 영상 카메라로 잡아 영역화한 결과 [그림-12]와 같다. 이것은 다시 기준값을 [그림-10]에서 얻은 최저 계급 level '6'(밝기 102)으로 설정했을 때의 영역화 변환 차이가 없었다.

이것으로 실제 영상 data의 영역화에서 분리할 추출, data의 본티/저장 등이 이루어짐을 알 수 있다.



[그림-12] 영역화한 128*128 화소의 영상

(4) 실시간 동작

실시간 동작을 고려했을 때, RAM의 액세스 타임에

계 그 동작이 좌우된다. Fast 알고리즘[12] 적용시 32*32의 부영상을 28 개 읽어 내는데는 시간 이내에는 모든 계산을 끝낸다는 가정에서 RAM의 액세스 타임 t를 계산해 보면

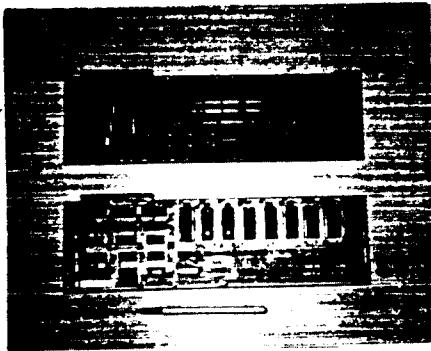
$$t \{ (128 * 128) + (28 * 32 * 32) \} < 1/30 \text{ 초}$$

$$t < 740 \text{ nsec} \quad (13)$$

식(13)에 의하면 RAM의 액세스 타임이 740 nsec 이하가 되어야 한다는 조건이 된다. 실제 RAM의 액세스 타임을 데이터의 흐름을 따라 계산해 보면

$$\{ (30 * 2) + 500 \} = 560 \text{ nsec} \quad (14)$$

로서, 실시간 동작함을 알 수 있다. 여기서 60 nsec는 버퍼 등에서, 500 nsec는 clock으로 8 MHz를 사용했을 때 RAM을 액세스 하는데 소요되는 시간이다.



[그림-13] H/W로 구현한 실시간 영역회기 분리값 추출부(위), 영역회 메모리부(아래)

5. 결 론

실시간 자동영상 추적기의 입력에 128*128 화소의 영역회 영상을 제공하기 위하여 밝기본로 계산, 본비값 추출 등 중요한 부분을 설계하고, data의 비교 등 필요한 모든 신호의 계산을 카운터, 비교기, NAND, 인버터 등 TTL 소자를 이용한 하드웨어로 구성 실험하였다.

실제 실험에 의하여 (1) 본포도 계산이 영상data의 상위 4bit 만으로도 가능하며 smoothing 효과를 더해 주고, 하드웨어를 1/16로 줄일 수 있게 했다.

(2) 본포도의 smoothing을 이용한 하드웨어 기법으로 본비값 추출기의 동작이 확실의 결과를 보였다.

(3) 추정된 RAM의 액세스 타임 740nsec에 비하여 실제 560 nsec로서 실시간 동작함을 알 수 있다.

(4) 전체적으로 매 frame 마다 자동으로 실시간 영역회기 결과를 보였다.

영상추적, 영상검색 등에서 가장 기본적으로 이루어져야 할 영상영역회기의 실시간 동작을 구현했다. 더욱 error확률을 작게할 수 있는 실시간 영역회기 기법이 연구 보완되어야 한다.

참 고 문 헌

1. W. Frei & C.C.Chen, "Fast Boundary Detection: A Generalization and A New Algorithm," IEEE. Trans. Comput. vol.C-26, no.10, Oct. 1977, pp. 988-998
2. C.J.Jacobus & R.T.Chien, "Two New Edge Detectors," IEEE Trans. PAMI, vol.PAMI-3, no.5, Sep 1981, pp.581-592
3. W.K.Pratt, Digital Image Processing, Wiley-Interscience, New York, 1978.
4. D.H.Ballard & C.M.Brown, Computer vision, Prentice-Hall, Inc., Englewood Cliffs, New Jersey, 1982
5. P.M.Narendra & M.Goldberg, "Image Segmentation with Directed Trees," IEEE Trans. PAMI, vol. PAMI-2, no.2, Mar.1980, pp.185-191
6. S.L.Horowitz & T.Pavlidis, "Picture Segmentation by a Tree Traversal Algorithm," J.Ass.Comput.Mads., vol.23, 1976. pp.368-388
7. S.L.Horowitz & T.Pavlidis, "Picture Segmentation by a Directed Split-and-Merge Procedure," Proc.2nd Int.Joint. Pattern Recognition, Aug. 13-15, 1974, pp.424-433
8. A.Rosenfeld & A.C.Kak, Digital Picture Processing, Academic Pres, N.Y.1976.
9. J.S.Weszka, R.N.Nagel, and A.Rosenfeld, "A Threshold Selection Technique," IEEE Trans Comput.vol.C-23, no.12, Dec.1974, pp.1322-1326
10. S.W.Zucker, A.Rosenfeld and L.S.Davis, "Picture Segmentation by Texture Discrimination," IEEE Trans.Comput.vol.C-24, no.12, Dec.1975, pp.1228-1233
11. H.L.Van Trees, Detecton, Estimation, and Modulation Theory, John wiley and Sons, Inc., New York, 1968
12. 김경수, 송용섭, 이상욱, "Fast 2-D Moving Target Tracking Algorithm," 전자공학회지, 제22권 제1호, 1월, 1985년
13. Alton L. Gilbert et al., "A Real-Time Video Tracking System" IEEE Trans. PAMI, vol.PAMI-2, Jan.1980, pp.47-56